

ЗАТВЕРДЖЕНО  
Наказ Міністерства освіти і науки,  
молоді та спорту України  
29 березня 2012 року № 384

Форма № Н-9.02

**Державний вищий навчальний заклад  
«Сумський державний університет»**

*Центр заочної, дистанційної та вечірньої форм навчання*  
(повне найменування інституту, назва факультету (відділення))

*Кафедра технології машинобудування, верстатів та інструментів*  
(повна назва кафедри (предметної, циклової комісії))

**Пояснювальна записка**

до кваліфікаційної (роботи)

*перший (бакалаврський)*  
(освітній рівень)

на тему *Проектування технологічного процесу  
виготовлення плунжера 352.23.01.04*

Виконав: студент V курсу, групи *ТМз-51к*  
напряму підготовки (спеціальності)  
*6.05050201 – Інженерна механіка*  
(*Технології машинобудування*)  
(шифр і назва напряму підготовки, спеціальності)

*Цигикал Б.О.*  
(прізвище та ініціали)

Керівник *Денисенко Ю.О.*  
(прізвище та ініціали)

Рецензент \_\_\_\_\_  
(прізвище та ініціали)

**МІНІСТЕРСТВО ОСВІТИ І НАУКИ УКРАЇНИ**  
Сумський державний університет  
Кафедра «Технологія машинобудування, верстати та інструменти»

ЗАТВЕРДЖУЮ

Завідувач кафедри

\_\_\_\_\_ В.О. Залога

« \_\_\_\_ » \_\_\_\_\_ 2020 р.

**ПРОЕКТУВАННЯ ТЕХНОЛОГІЧНОГО ПРОЦЕСУ ВИГОТОВЛЕННЯ  
ПЛУНЖЕРА 352.23.01.04**

Бакалаврська кваліфікаційна робота  
Напрямок підготовки 6.05050201 – Інженерна механіка  
(Технології машинобудування)

Студент

*Б.О. Цигикал*

Керівник

*Ю.О. Денисенко*

Нормоконтроль

*Ю.О. Денисенко*

**ЗАТВЕРДЖЕНО**

Наказ Міністерства освіти і науки, молоді та спорту України

29 березня 2012 року № 384

**Форма № Н-9.01**

**Державний вищий навчальний заклад  
«Сумський державний університет»**

Інститут, факультет ЦЗДВН  
Кафедра технології машинобудування, верстатів та інструментів  
Освітній рівень перший (бакалаврський)  
Напрямок підготовки 6.050502 Інженерна механіка (Технології машинобудування)  
(шифр і назва)  
Спеціальність \_\_\_\_\_  
(шифр і назва)

**ЗАТВЕРДЖУЮ**

Завідувач кафедри технології машинобудування, верстатів та інструментів

\_\_\_\_\_ Залога В. О.

«\_\_\_» \_\_\_\_\_ 2020 року

**ЗАВДАННЯ  
НА ДИПЛОМНИЙ ПРОЕКТ (РОБОТУ) СТУДЕНТА**

*Цигикал Богдан Олександрович*  
(прізвище, ім'я, по батькові)

1. Тема проекту (роботи) Проектування технологічного процесу виготовлення плунжера 352.23.01.04

керівник проекту Денисенко Юлія Олександрівна, канд. техн. наук, ст. викладач  
(прізвище, ім'я, по батькові, науковий ступінь, вчене звання)

затверджені наказом вищого навчального закладу від « 30 » квітня 2020 року № 0548-III

2. Строк подання студентом проекту (роботи) « 01 » червня 2020 року

3. Вихідні дані до проекту (роботи) \_\_\_\_\_  
креслення деталі «Плунжер 352.23.01.04»  
річний обсяг випуску деталей – 1750 шт.

4. Зміст розрахунково-пояснювальної записки (перелік питань, які потрібно розробити)

4.1 Аналіз призначення машини, деталі

4.2 Аналіз технічних вимог на виготовлення деталі «Плунжер 352.23.01.04»

4.3 Визначення типу виробництва та форми його організації

4.4 Аналіз технологічності конструкції деталі «Плунжер»

4.5 Вибір способів отримання заготовки, розробка технічних вимог

4.6 Аналіз існуючого технологічного процесу виготовлення деталі «Плунжер»

4.7 Проектування верстатного пристрою для токарної операції

4.8 Фактори, які визначають наслідки ураження людини електричним струмом

## 5. Консультанти розділів проекту (роботи)

Розділ	Прізвище, ініціали та посада консультанта	Підпис, дата	
		завдання видав	завдання прийняв

6. Дата видачі завдання « 03 » січня 2020 року

## КАЛЕНДАРНИЙ ПЛАН

№ з/п	Назва етапів дипломного проекту (роботи)	Строк виконання етапів проекту (роботи)	Примітка
1	<i>Аналіз службового призначення машини, вузла, деталі «Плунжер 352.23.01.04». Опис конструктивних особливостей деталі «Плунжер»</i>	03.02.20	
2	<i>Аналіз технічних вимог на виготовлення деталі «Плунжер»</i>	12.02.20	
3	<i>Визначення типу виробництва, форми його організації</i>	17.02.20	
4	<i>Аналіз технологічності конструкції «Плунжера»</i>	20.02.20	
5	<i>Вибір способів одержання заготовки та розроблення технічних вимог до неї</i>	01.03.20	
6	<i>Аналіз існуючого технологічного процесу</i>	15.03.20	
7	<i>Проектування пристрою для фрезерної операції</i>	20.03.20	
8	<i>Фактори, які визначають наслідки ураження людини електричним струмом</i>	01.04.20	
	<i>Креслення аркушу заготовки</i>	08.04.20	
	<i>Креслення аркушу маршруту обробки</i>	15.04.20	
	<i>Креслення аркушу операційного налагодження</i>	21.04.20	
	<i>Креслення аркушу токарного пристрою</i>	26.05.20	
	<i>Оформлення карт технологічної документації</i>	30.05.20	

Студент

\_\_\_\_\_ (підпис)

*Б. О. Цигикал*

\_\_\_\_\_ (прізвище та ініціали)

Керівник проекту (роботи)

\_\_\_\_\_ (підпис)

*Ю. О. Денисенко*

\_\_\_\_\_ (прізвище та ініціали)

## ЗМІСТ

Вступ .....		8
1	Аналіз службового призначення виробу «Агрегат АВЗ-20Д», деталі «Плунжер 352.23.01.04» .....	9
2	Аналіз технічних вимог з виготовлення заданої деталі .....	15
3	Визначення типу виробництва і форм його організації .....	16
4	Аналіз технологічності конструкцій плунжера .....	20
5	Вибір способів одержання заготовки з розробкою технічних вимог	22
6	Аналіз існуючого або типового технологічного процесу	26
6.1	Розрахунки припусків на механічні обробки $\varnothing 120H8^{(+0.054)}$ .....	26
6.2	Обґрунтування і вибір схем базувань та закріплень заготовки .....	28
6.3	Вибір з обґрунтуванням металорізального верстата .....	33
6.4	Вибір з обґрунтуванням верстатних пристроїв, вимірювального та металорізального інструментів .....	35
6.5	Розрахунок та визначення режиму різання інструментів .....	38
6.6	Технічні нормування операцій .....	46
7	Проектування спеціального верстатного пристрою для токарної операції .....	52
7.1	Обґрунтування вибору систем пристрою .....	52
7.2	Визначення якісного й кількісного результату заданої операції	52
7.3	З'ясування якісних й кількісних даних про заготовку, що надходить на задану операцію .....	53
7.4	Умови, де буде виготовлятися та експлуатуватися спеціальний пристрій, що проектується .....	54

					ТМЗ 18190006-00 ПЗ		
Изм.	Лист	№ докум.	Подпись	Дата			
Разраб.		Цигикал			Лит.	Лист	Листов
Провер.		Денисенко				5	77
Реценз.					СумДУ, ТМЗ-51к		
Н. Контр.		Денисенко					
Утв.		Залога					
					Проектування технологічного процесу виготовлення плунжера 352.23.01.04		

7.5 Функції що реалізують в пристрої .....	55
7.6 Обґрунтування і розробка схем базування заготовки .....	56
7.7 Побудова функціональних структур верстатного пристрою ....	59
7.8 Обґрунтування схем закріплення заготовки .....	59
7.9 Точнісний розрахунок пристрою .....	61
7.10 Конструкція проєктованого пристрою з принципом дії .....	62
Висновки .....	64
Перелік джерел посилання .....	65
ДОДАТОК А – Креслення деталі «Плунжер 352.23.01.04» .....	67
ДОДАТОК Б – Розрахунок припусків .....	68
ДОДАТОК В – Специфікація .....	69
ДОДАТОК Г – Розрахунки сил закріплення .....	71
ДОДАТОК Д – Розрахунки привода .....	72
ДОДАТОК Е – Охорона праці .....	73

**Сумський державний університет**  
**Кафедра технології машинобудування,**  
**верстатів та інструментів**

## РЕФЕРАТ

Кваліфікаційна робота бакалавра: 77 с., 13 рис., 11 табл., 17 джерел.

Метою роботи є проектування технологічного процесу виготовлення плунжера 352.23.01.04.

Об'єкт розробки – технологічний процес виготовлення деталі «Плунжер 352.23.01.04».

Предмет розробки – деталь «Плунжер 352.23.01.04», що входить до складу виробу «Агрегат АВЗ-20Д».

В даній кваліфікаційній роботі бакалаврів проаналізували службове призначення виробу «Агрегат АВЗ-20Д» і деталі, крім того розглянуті технічні вимоги із якісними показниками технологічності конструкції деталі. Були розраховані припуски з обробки  $\varnothing 120H8^{+0.054}$  і обґрунтовано метод отримання вихідної литвом.

Для двох операцій 095 (фрезерної) і 020 (токарної) проаналізовано та обґрунтовано можливі схеми базування заданої деталі. Проведено обґрунтування вибраного металорізального устаткування. Розглянуто запропоновані верстатні пристрої, вимірювальні і різальні інструменти. Розрахунково-аналітичним способом розраховані режими різання. Пронормовані розглянуті дві операції. Для фрезерної операції було розроблено спеціального верстатного пристрою.

Для технологічного процесу обробки «Плунжера 352.23.01.04» було оформлено альбом технологічної документації.

ДОПУСК, ТЕХНОЛОГІЯ, ЗАГОТІВКА, ЯКІСНА ТЕХНОЛОГІЧНІСТЬ,  
ПРИПУСКИ, ВЕРСТАТНИЙ ПРИСТРІЙ, НОРМУВАННЯ, РІЗАННЯ,  
ОХОРОНА ПРАЦІ, ПЛУНЖЕР 352.23.01.04





# 1 АНАЛІЗ СЛУЖБОВОГО ПРИЗНАЧЕННЯ МАШИНИ, ДЕТАЛІ, ВУЗЛА. ОПИС КОНСТРУКТИВНИХ ОСОБЛИВОСТЕЙ ЗАДАНОЇ ДЕТАЛІ ТА УМОВ ЇЇ ЕКСПЛУАТАЦІЇ

Виріб, куди входить задана деталь «Плунжер 352.23.01.04», називається вакуумним золотниковим агрегатом типу АВЗ-20Д. Ця машина призначена для збільшення найбільшого вхідного тиску в насосі до атмосферного і підвищення здатності по відкачці парів води, а також в складі установок сушіння виробів з деревини і електротехнічних виробів в приміщенні з температурою навколишнього середовища +12 до +33°C (280-306К). Дані агрегати не працюють з матеріалами, що вступають в реакцію з мастилом та роз'їдають чорні метали. Також вони непридатні для відкачування середовищ, що є отруйними або вибухонебезпечними, а також для перекачувань середовищ з однієї ємності в іншу. Випускають агрегати в УХЛ кліматичному виконанні, з категорією розміщення 4.2 по ГОСТ 15153-91. Агрегат «АВЗ-20Д» в умовних позначеннях означає наступне:

Д – двуступеневий, що має послідовну дію двох ступенів;

А – означає агрегат;

З – означає золотниковий;

В – означає вакуумний;

20 – означає швидкість дії агрегату, л/с;

АВЗ-20Д складається із насосу (див. рис. 1.1) та із двигуна, що змонтований на основі з маслобаком. Вузлом, куди входить деталь-плунжер, є насос (див. рис. 1.2). За допомогою клиноременних передач здійснюють передавання обертальних рухів від двигуна насоса до агрегата. Натяжними гвинтами натяг ремнів насоса забезпечують при настроювання. Огорожею закривають як самі шківні насоса, так і двигуна після їх установлення с закріпленням. Вхідний патрубок насоса з вихідним патрубком маслоохладителя закривають заглушками.

										Лист
										9
Изм.	Лист	№ докум.	Подпись	Дата						









Таблиця 1.2 – Таблиця відповідності при базуванні у вузлі

Зв'язки	Ступінь свобод	
2, 1, 3	IV, II, VI	Установлювальна Б
4, 5	V, I	Напрямна Б
6	III	Опорна Б

Таблиця 1.3 – Матриця зв'язків при базуванні у вузлі

	X	Y	Z	
1	0	1		Установча база
$\alpha$	1	0	1	
1	1	0	0	Напрямна база
$\alpha$	0	1	0	
1	0	0	1	Опорна база
$\alpha$	0	0	0	

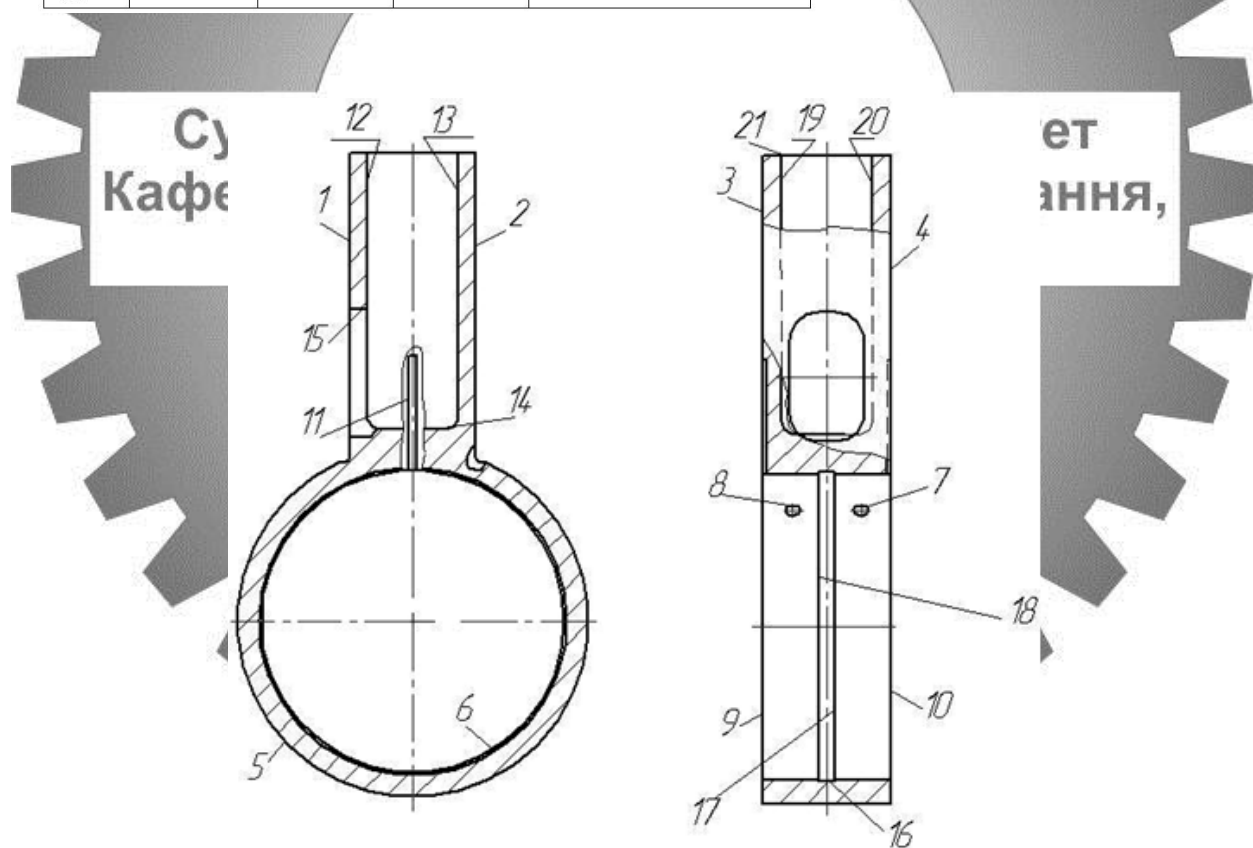


Рисунок 1.3 – Пронумеровані поверхні плунжера 352.23.01.04

Изм.	Лист	№ докум.	Подпись	Дата

ТМЗ 18190038-00 ПЗ

Лист

14

## 2 АНАЛІЗ ТЕХНІЧНИХ ВИМОГ НА ВИГОТОВЛЕННЯ ЗАДАНОЇ ДЕТАЛІ

Деталь «Плунжер 352.23.01.04» не призначена для роботи з хімічними агресивними середами, як і з речовинами, які роз'їдають чорний метал, цілком виправдане в якості матеріалу плунжера чавуну СЧ20 ГОСТ1412-85.

Виходячи з тієї інформації, що наявна на кресленні деталі, зробимо наступні висновки. Для плунжера представлені достатня кількість виносних елементів, видів та розрізів. Але не всі розміри враховують кращого ряду чисел (73, 76, 63, 256) хоч і представлені в необхідній і достатній кількості.

Допуск - перпендикулярності ( $T = 50$  мкм) - що наведений на кресленні плунжера, відповідає значенню згідно ГОСТ 24647-89. Але, заданий на кресленні допуск форми - паралельності 50 мкм до розміру 50 мм згідно з ГОСТ 24644-89 є неправильним, бо найближчим меншим значенням є 42 мкм, найближче ж більше – 60 мкм. Допуск розташування - симетричності 300 мкм ГОСТ24644-89, 250 мкм або 400 мкм - теж вказано не стандартним.

На кресленні плунжера кілька розмірів задані з високою точністю, що обумовлено їх функціональним призначенням:  $50f9_{-0,087}^{(-0,025)}$  і  $50f7_{-0,050}^{(-0,025)}$  є розміри прямокутної частини хвостовиків плунжера, що встановлюються в напрямні вузла (необхідний мінімально гарантований зазор); також діаметр  $\varnothing 120H7^{(+0,054)}$  – плунжер встановлюється по цій поверхні на ексцентрик насоса.

Кілька допусків лінійних розмірів, що проставлені на кресленні плунжера, теж не відповідають стандартним значенням: наприклад, розмір  $63_{-0,5}$  містить допуск нестандартний - 500 мкм (ГОСТ 25346-89, допуск 465 мкм); а для розміру  $\varnothing 120^{+0,07}$  замість допуску 70 мкм потрібно брати допуск 54 мкм (бо наступне значення - 88 мкм). Майже ж те саме – де вказано допуск для розміру  $\varnothing 139,1_{-0,15}$  (потрібно - стандартні значення допусків 100 мкм або 180 мкм, а не допуск 150 мкм).

									Лист
									15
Изм.	Лист	№ докум.	Подпись	Дата					

ТМЗ 18190006-00 ПЗ

### 3 ВИЗНАЧЕННЯ ТИПУ ВИРОБНИЦТВ ТА ФОРМ ЙОГО ОРГАНІЗАЦІЇ

Як відомо, шуканий тип виробництва на підприємстві та його відповідні форми організацій робіт мають визначати саме характер технологічних процесів та їх побудову.

Тому тип виробництва на підприємстві будемо визначати розрахунковим шляхом, використовуючи формули посилання [1], а результати заносимо в таблицю 3.1.

Таблиця 3.1 - Дані для розрахунків типа виробництв

Номер, найменування операції	$T_{шт., хв.}$	$m_p$	$p$	$\eta_{зф}$	$O$
010 Слюсарна	2.81	0.02478	1	0.02478	33
010 Вертикально-фрезерна	3.36	0.02976	1	0.02976	30
020 Токарна	6.81	0.05998	1	0.05998	14
030 Стругальна	5.61	0.04958	1	0.04958	15
040 Слюсарна	3.71	0.03263	1	0.03263	25
045 Вертикально-фрезерна	3.71	0.05029	1	0.05029	16
050 Фрезерна	4.31	0.03892	1	0.03892	21
055 Стругальна	5.31	0.03674	1	0.03674	15
060 Токарно-гвинторізна	5.48	0.04934	1	0.04934	18
065 Горизонтально-фрезерна	3.11	0.02643	1	0.02643	28
075 Горизонтально-розточна	4.21	0.03604	1	0.03604	23
080 Стругальна	5.11	0.04498	1	0.04498	18
085 Свердлильна	4.42	0.03872	1	0.03872	21
090 Стругальна	5.31	0.04575	1	0.04575	17
095 Плоскошліфувальна	2.80	0.02458	1	0.02458	33
100 Фрезерна	3.21	0.02632	1	0.02632	30
105 Горизонтально-фрезерна	6.50	0.05732	1	0.05732	14
Сума	68.07		18		369

Тип виробництва по ГОСТ 3.1109-76 характеризується коефіцієнтом закріплення операцій, що показує відношення кількості технологічних операцій в цеху, які виконували протягом одного місяця, до кількості місць робочих.



Даними для розрахунків будуть:

- задана річна програма випуску плунжерів - 1750 шт.;
- фонд часу дійсний річний - 4015 годин;
- режим праці на підприємстві з випуску плунжерів - 2 зміни.

Послідовість розрахунків коефіцієнта  $K_{3.0}$  така.

$$m_p = \frac{N \cdot T_{шт.}}{60 \cdot \Phi_d \cdot \eta_{зн.ср.}}, \quad (3.1)$$

Спочатку визначимо розрахункову кількість устаткування, коли знатимемо штучний час, витрачений на кожну операцію:

В наведеній формулі (3.1):

$\Phi_d$  – розмір дійсного річного фонду часу, годин,

$T_{шт.}$  – величина штучного часу, хв.,

$N$  – величина річної програми, шт.,

$\eta_{зн.ср.} = 0,8$  – усереднена величина значення нормативного коефіцієнта завантажень.

Приймаємо округленням отриманого значення  $m_p$  до найближчого цілого числа кількість робочих місць  $p$ .

Фактичний коефіцієнт завантаження робочих місць визначаємо по [1]:

$$\eta_{зф} = \frac{m_p}{p} \quad (3.2)$$

Кількість операцій, що виконані на одному місці, визначаємо по [1]:

$$O = \frac{\eta_{зн.ср.}}{\eta_{зф}} \quad (3.3)$$

Тоді коефіцієнт  $K_{3.0}$  закріплення операцій буде дорівнювати:

$$K_{3.0} = \frac{\sum O}{\sum p} \quad (3.4)$$

Оскільки  $K_{3.0} = 369/18 = 21,5$ , то

Будемо мати тип виробництва - дрібносерійний ( $20 < K_{3.0} < 40$ ) відповідно до ГОСТу 14.004-85 і ГОСТ 3.1109-76.

					ТМЗ 18190006-00 ПЗ	Лист
Изм.	Лист	№ докум.	Подпись	Дата		17





## 4 АНАЛІЗ ТЕХНОЛОГІЧНОСТІ КОНСТРУКЦІЙ ЗАДАНОЇ ДЕТАЛІ ПЛУНЖЕР

Оцінемо за якісними показниками технологічність.

Чавун СЧ20 ГОСТ 1412-85 є матеріалом деталі, механічні властивості його наведено в таблиці 4.1.

«Плунжер 352.23.01.04» являє собою за конфігурацією тіло дещо складної форми, що близька до коробчастої та містить циліндричну ділянку, яка в свою чергу переходить в подовжену хвостову частину прямокутного перетину. Ця ділянка в довжину має 50 мм, товщина стінки близька до 6 мм. Стінка утворюється поверхнями  $\varnothing 139,1$  мм і  $\varnothing 120$  мм. Заготовку отримують литтям, при цьому конфігурації зовнішніх і внутрішніх контурів не викликає значних труднощів. Хвостова частин виконана у виді взаємно перпендикулярних пар поверхонь, які в поперечному перерізі утворюють прямокутник із сторонами 50 на 50 мм та понад 120 мм довжини.

Наведемо механічні властивості чавуну СЧ 20 в таблиці 1.4.

Таблиця 1.4 – Механічні параметри чавуну СЧ 20 по ГОСТ 1412-86

Найменування, одиниця виміру	Значення
Межа міцності, МПа	$\sigma_{\text{и}}$ 421
	$\sigma_{\text{в}}$ 211
	$\tau_{\text{в}}$ 291
Коефіцієнт Пуасона	0,21-0,25
Вдарна в'язкість, $\times 10^3$ , Дж / мм <sup>2</sup>	0,8
Модуль пружностей E, $\times 10^5$ , МПа	0,83
Твердість по Бринелю, МПа	1911-2064
Питомна вага, $\times 10^{-4}$ , Н / м <sup>3</sup>	7,2-7,4
Коефіцієнт з лінійної розширень, $\times 10^7$ , град <sup>-1</sup>	10-14



## 5 ВИБІР СПОСОБІВ ОДЕРЖАННЯ ЗАГОТІВКИ ТА РОЗРОБЛЕННЯ ТЕХНІЧНИХ ВИМОГ ДО НЕЇ

Вибір способів одержання заготовки будемо робити шляхом порівняння вартості двох альтернативних варіантів розрахунковим методом.

Наближення форми і точності заготовки якнайбільше до форми готової деталі - це стратегічна умова раціональної технології виготовлення. Як результат аналізування матеріалу деталі, її креслення, маси, габаритів, річної програми випуску, маємо майбутній пропонований вид заготовки.

Для вибору способів одержання заготовки вихідні дані такі:

- форма готової деталі (корпусная деталь);
- маса плунжера - 2,3 кг;
- матеріал – це сірий чавун СЧ 20 ГОСТ 1412-85;
- річна програма випуску плунжерів - 1750 штук;
- група складності - 3 група складності;
- розмір найбільший плунжера - 256 мм;
- мінімальна товщина - 7-8 мм.

Можливі такі методи одержання заготовки плунжера:

- лиття в піщані форми з машинним формуванням заготовки;
- кокільне лиття заготовки.

На відміну від лиття в піщані форми кокільне лиття є більш дорогим, оскільки при цьому використовується спеціальна багаторазова форма з металу - кокіль. В кокілях одержують виливки з точними і стабільними розмірами (до 11-12 квалітетів), з параметрами шорсткості  $Rz=40-20$  мкм. Лиття в кокіль доцільно застосовувати при одержанні з кожної форми не менш 400...600 виливків за рік в умовах серійного виробництва. Також у зв'язку з дуже великою теплопровідністю матеріалу чавуну цих форм існує дуже велика швидкість кристалізації при затвердінні. Тому кокільне лиття є вельми затратним хоча й високопродуктивним.

										Лист
										22
Изм.	Лист	№ докум.	Подпись	Дата						

ТМЗ 18190038-00 ПЗ



формуванням. Тобто цей спосіб є найбільш оптимальним для відливків будь-якої складності дрібносерійного та одиничного виробництва заготовок.

Таблиця 5.1 – Дані для розрахунків вартості заготовки за двома варіантами

Найменування параметра	Литво в форми піщані	Литво в форми кокільні
Різновид, тип заготовки	Виливки	Виливки
Вартість 1 тони заготовок $C_{il}$ , грн.	11200	11200
Клас точності заготовки [1, с.116]	3	2
Група складності заготовки [1, с.33]	3	2
Група серійності [1, с.34]	2	2
Вартість 1т стружки $S_{отх.}$ , грн.	1268	1268
Маса заготовки $Q$ , кг	4,8	4,8
Значення величин коефіцієнтів:		
$K_m$ [1,с.32]	1,03	1,01
$K_n$ [1,с.32]	1,00	1,06
$K_c$ [1,с.33]	1	1
$K_n$ [1,с.33]	0,52	0,52
$K_e$ [1,с.33]	0,91	0,91

Згідно [2] знайдемо економічний ефект при зіставленні двох способів отримання заготовок:

$$\mathcal{E}_3 = (S_{заг.02} - S_{заг.01})N_{рiчн}; \quad (5.2)$$

$$\mathcal{E}_3 = (243,6 - 215,2)1750 = 49700 \text{ (грн.)}$$

Для інтервала номінальних мас менших ніж 2,5 кг (у нас маса 2,3 кг) згідно [12, с. 8] маємо верхнє граничне відхилення маси не більше 12,1%.

Припуски на обробку згідно [12, с. 9] будемо призначати виходячи з допусків розмірів литва. Тоді проставимо їх на кресленні плунжера (див. рис. 5.1). По ГОСТ [12] здійснюємо позначення точності литва:

<Клас точності розміру> - <клас точності мас> <ступінь викривлень> - <ряд припуску>. Позначення: «Точність виливка 11Т-11Т-5-3 ГОСТ 26645-86» [12]. Згідно з ГОСТ 26645-86, визначимо припуски, допуски розмірів та маси на обробку [12]. Маючи найбільші розміри габаритів від 100 до 650 мм (а у нас - 256 мм), для литва у піщані форми та у кокіль сірого чавуну, з типом виробництва -



дрібносерійний, будемо мати рекомендований ряд припусків №3 та клас точності розмірів й мас 11Т.

Таблиця 5.1 – Знайдені розміри заготовки плунжера

Розміри деталі, мм	Розміри лиття, мм	Допуск, мм	Припуск, мм
30	30	2,6	-
8	13	2,1	3,2
50f9	57	3,3	7
50f7	56	3,2	8
48	48	3,3	-
52	52	3,2	4
76	76	3,6	-
Ø139,1	Ø147	4,1	8
256	266	5,0	11
Ø120	Ø111	4,1	11

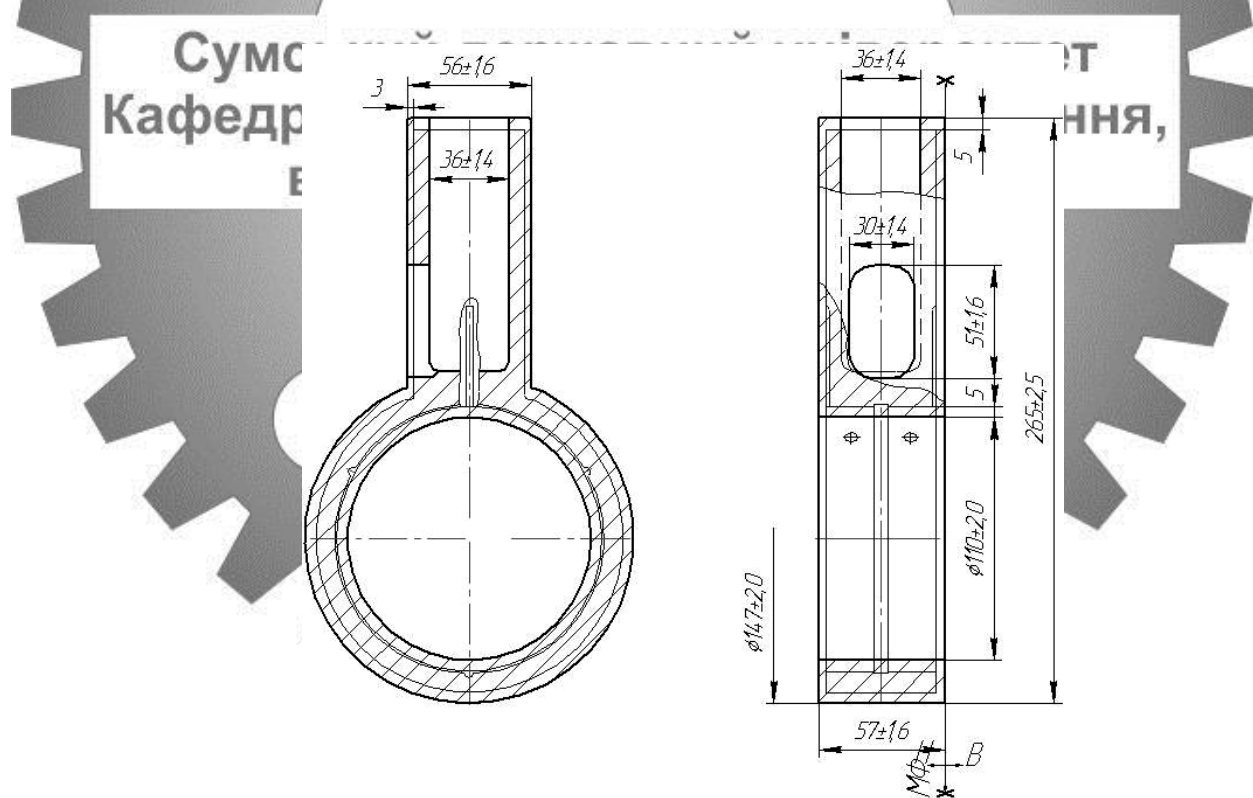


Рисунок 5.1 – Заготовка плунжера

Изм.	Лист	№ докум.	Подпись	Дата
------	------	----------	---------	------

ТМЗ 18190038-00 ПЗ

Лист

25

## 6 АНАЛІЗ ІСНУЮЧОГО АБО ТИПОВОГО ТЕХНОЛОГІЧНОГО ПРОЦЕСУ

### 6.1 Розрахунки припусків на механічні обробки $\varnothing 120H8^{(+0.054)}$

Необхідний розрахунок допусків та припусків на діаметральні розміри ми робимо для одного з найбільш точних діаметрів, що взято з креслення «Плунжера» -  $\varnothing 120H8^{(+0.054)}$  мм. Необхідний розрахунок здійснюємо за комп'ютерною програмою під назвою «Rozrahunok pripuskiv».

Автором використовуваного методу розрахунків на комп'ютері є професор В.М.Кован. Шукані параметри поверхонь після кількох механічних обробок знаходимо за допомогою підказок програми.

Вихідні дані розрахунків:

– маршрут обробки заданої поверхні:

чорнове розточування (IT 12, Ra 12,5),

напівчистове розточування (IT 10, Ra 3,2),

чистове розточування (IT 8, Ra 2,5),

– параметри розглядаємої поверхні (для відливки класу точності 10T: Rz = 320 мкм, T = 580 мкм; після першого розточування м шорсткість Rz = 40 мкм, дефектний шар буде T = 40 мкм; після другого розточування буде Rz = 20 мкм, дефектний шар буде 30 мкм; після чистового розточування буде шорсткість 5 мкм, дефектний шар буде 10 мкм;

– відхилення форми просторове маємо для литва:

$$\rho = \sqrt{\rho_{змі}^2 + \rho_{короб}^2} \quad (6.1)$$

Маємо похибки зміщень  $\rho_{змі} = 1,90$  мм,  $\rho_{короб} = 1,0$  (мкм/мм) · 255(мм) = 256 мкм  
= = 0,256 мм.

$$\rho_{загот} = \sqrt{1,90^2 + 0,256^2} = 1,623(мм) = 1623 мкм$$

Відхилення просторові, що є залишковими за виконаним переходом знайдемо згідно [1, с.73]:

										Лист
										26
Изм.	Лист	№ докум.	Подпись	Дата						

$$\rho_{зал} = K_{ум} \cdot \rho_{загот} \quad (6.2)$$

При цьому  $K_{ум}$  – це коефіцієнт уточнення,

$\rho_{загот}$  – значення кривизни самої заготовки.

Після чорнових розточувань маємо просторову кривизну:

$$\rho_{1ч} = 0,06 \cdot \rho_{загот} = 0,06 \cdot 1,623 = 0,09723 \text{ (мм)} = 97,23 \text{ (мкм)};$$

Після напівчистових розточувань маємо просторову кривизну:

$$\rho_{2н/ч} = 0,02 \cdot \rho_{загот} = 0,02 \cdot 1,623 = 0,00476 \text{ (мм)} = 5,00 \text{ (мкм)}.$$

При установленні в пристрої з напівчисто обробленими базовими поверхнямию, при розточуванні чистовому будемо мати  $\varepsilon_{62ч} = 132$  мкм, крім того маємо похибки закріплень що дорівнює нулю  $\varepsilon_{33} = 0$  згідно [1, с.72].

Похибки закріплення і базування входять до похибок установки. Для вилівки погрішність  $\varepsilon_{61в} = 213$  мкм, погрішність  $\varepsilon_{31в} = 213$  мкм.

З розточуванням напівчистовим  $\varepsilon_{32н/ч} = 121$  мкм і  $\varepsilon_{62н/ч} = 131$  мкм.

**Сумський державний університет**

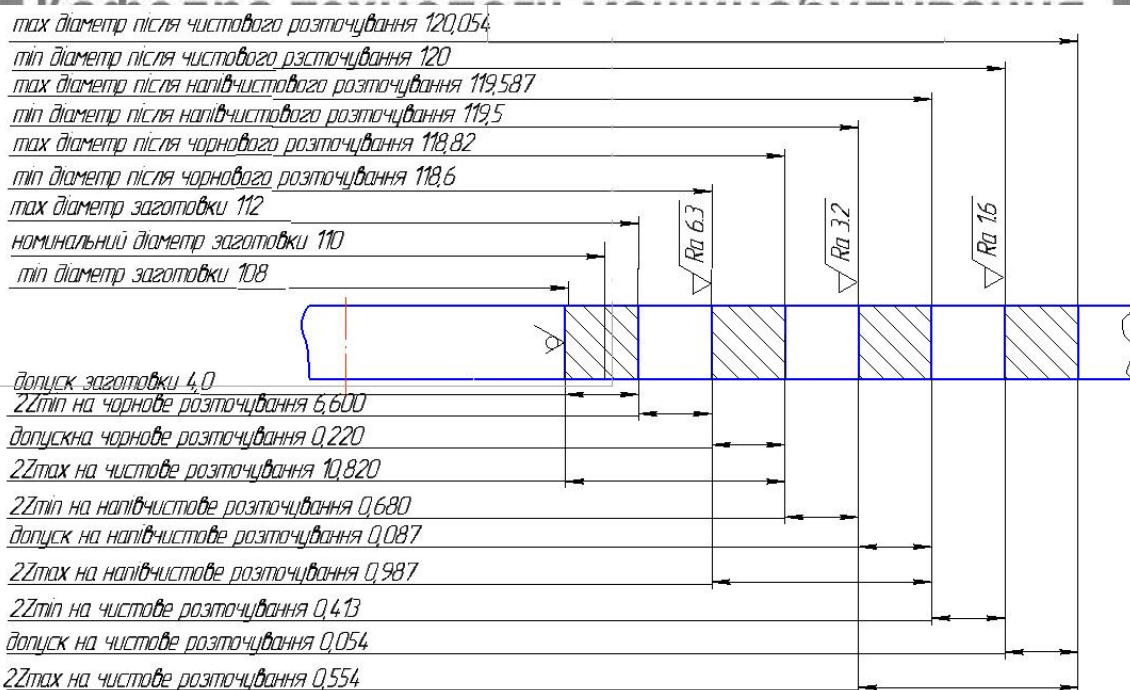


Рисунок 6.1 – Схема розміщення допусків з припусками при обробці діаметрального розміру  $\varnothing 120H8^{(+0.054)}$  плунжера

## 6.2 Аналіз та обґрунтування схем базувань та закріплення заготовки

При базуванні необхідно поєднувати технологічні та вимірювальні бази - це принцип суміщення баз. При виборі схем базування беремо до уваги те, що в якості базових слід застосувати такі поверхні, що досить широкі за площиною - так звані «розвинені» поверхні, та які мають достатню точність. Це дозволяє використати принципи сталості базових поверхонь, а також дозволяє здійснювати надійне закріплення плунжера з можливістю оброблення за одну установку максимальної кількості поверхонь.

Вибір і обґрунтування схем базування і закріплення плунжера здійснюємо для двох операцій технології обробки – 095 фрезерної та 020 токарно-гвинторізної.

В якості допоміжних базових поверхонь 4,5 (див. рисунок 6.2) на операції 020 виступає циліндрична зовнішня поверхня  $\varnothing 149$ , встановлювана у двох коротких призмах. Заготовку при цьому лишено двох степенів свободи, а саме двох переміщень. Центрування здійснюють призми базуючі, що дозволяють поєднувати вісь обертання шпинделю верстата шляхом регулювання з вісю циліндричної частини плунжера, а також забезпечується точна рівностінність розточувальних отворів.

В якості головної базової поверхні на операції 020 є торець плунжера  $\varnothing 147$ . Дана поверхня позбавляє заготовку трьох степенів волі, є установчою базовою поверхнею, полишає одного переміщення уздовж осі циліндричного отвору заготовки плунжера та двох обертань, що показано на рисунку 6.2. Також ця поверхня має достатню площу, крім того вона є добре розвиненою, зовсім не має літників, напливів та інших дефектів лиття. Витримуються при цьому вимоги, що чорнова перша база буде використовуватися тільки одного разу, а на подальших інших операціях - буде в якості бази використано інший торець плунжера, а саме той торець  $\varnothing 147$ , що на даній операції оброблюється.

										Лист
										28
Изм.	Лист	№ докум.	Подпись	Дата						

Таблиця 6.1 – Таблиця відповідності при базуванні на 020 операції

Зв'язки	Ступінь свобод	
3, 2, 1	V, I, VI	Уст. Б
4, 5	III, II	Подв. Оп. Б
6	IV	Оп. Б

Таблиця 6.2 – Матриці зв'язків при базуванні на 020 операції

	X	Y	Z	
1	1	0	0	Уст. Б
$\alpha$	0	1	1	
1	0	1	1	Подв. Оп. Б
$\alpha$	0	0	0	
1	0	0	0	Оп. Б
$\alpha$	1	0	0	

Сумський державний університет  
Кафедра технології машинобудування,  
верстатів та інструментів

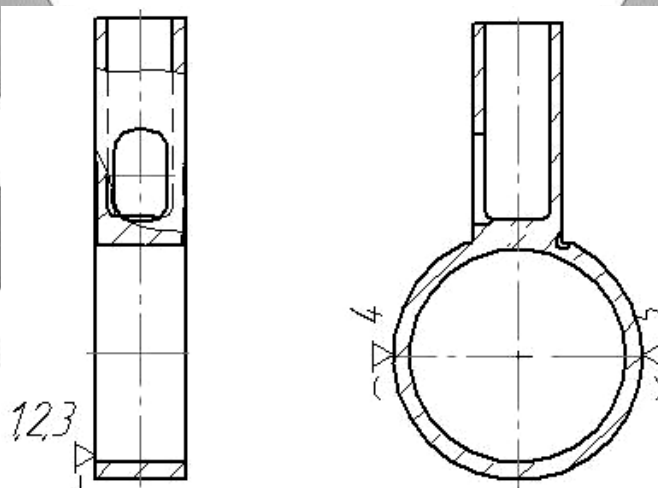


Рисунок 6.2 – Схема базування на операції 020

Изм.	Лист	№ докум.	Подпись	Дата

ТМЗ 18190006-00 ПЗ

Лист

29

Оскільки процес базування проводимемо за зовнішньою поверхнею плунжера  $\varnothing 148$ , а оброблювана - це поверхня  $\varnothing 117$  плунжера, то зміщення плунжера залежатиме од допуску на зовнішні поверхні  $\varnothing 148$ , тобто від величини  $T = 4,4$  мм. При цьому похибки базувань будемо визначати для положення вісі обертань циліндричної поверхні плунжера.

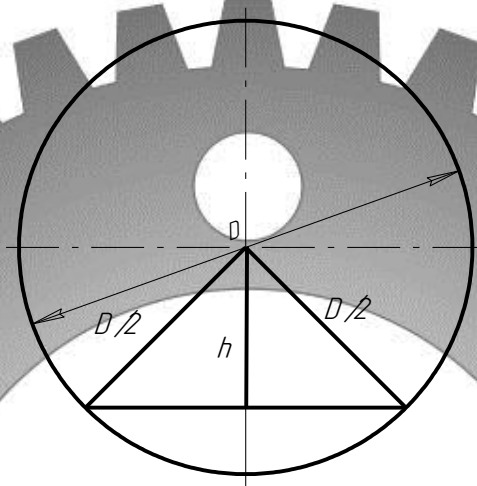


Рисунок 6.3 – Схема до розрахунків похибок базувань  
Сумський державний університет  
Кафедра технології машинобудування,  
верстатів та інструментів

Згідно наведеної схеми, маємо:

$$h = (D / 2) \cdot \cos 45 \quad (6.3)$$

Маємо:  $h_{16} = (148/2) \cos 45 = 52,7$  (мм);  $h_{26} = (148/2) \cos 45 = 51,97$  (мм).

Тоді  $\varepsilon_6 = h_{16} - h_{26} = 52,6 - 51,97 = 0,73$  (мм).

У таблицях 6.1, 6.2 представлено відповідності та таблиця-матриця зв'язку для варіанта базування згідно до малюнку 6.2.

Похибки базування при коливанні діаметра від  $\varnothing 145$  до величини  $\varnothing 149$  та куті  $\alpha = 90^\circ$  призми дорівнюватиме різниці висот  $h$  двох діаметрів - дивись малюнок 6.3.

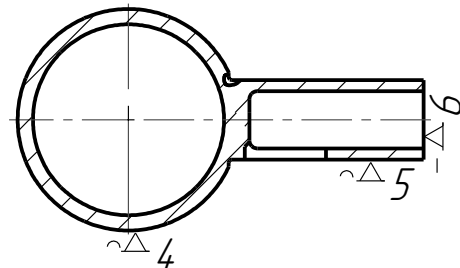
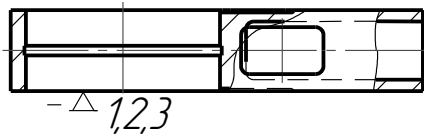
На даній операції альтернативного варіанту базування немає, можна лише запропонувати варіант, що розглянуто на малюнку 6.4.

Изм.	Лист	№ докум.	Подпись	Дата

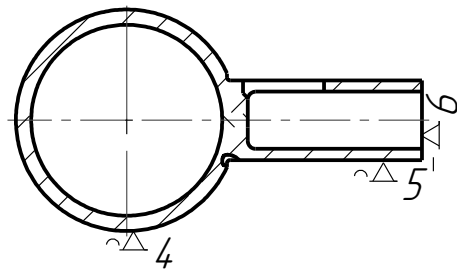
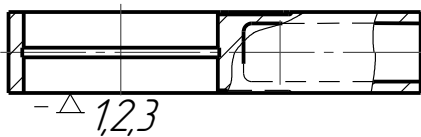


базу попередньо обробленої площини торця деталі, що також лишає заготовку трьох ступенів волі.

*Установ А*



*Установ Б*



Сумський державний університет  
Кафедра технології машинобудування,  
верстатів та інструментів

Рисунок 6.5 – Схема базування на операції 095

Базування зовнішнього ряду встановлюваних на магнітному столі в радіальних напрямках плунжерів роблять по зовнішньому обмежувальному кільцю, тоді як внутрішні ряди плунжерів базують по боковим поверхням сусідніх плунжерів. Ці поверхні виступають в якості прямої бази для плунжерів, що позбавляє заготовку двох ступенів волі.

Використовують і спеціальні опори для запобігання осьових переміщень плунжерів на магнітному столі. Вони позбавляють заготовку останнього 6-го ступеня волі. Наведемо дані по позбавленим степенями волі і у таблицях 6.3 та 6.4, а також зв'язки при даному варіанті базування плунжера.

Похибка базування за даним варіантом базування буде дорівнювати нулю, бо дотримуємо принцип суміщення баз – при цьому збігаються вимірювальна і технологічна бази:

$$\varepsilon_{62} = 0.$$







Верстат токарно-гвинторізний моделі 1М63Б застосовуємо на операції 020. Тут здійснюють підрізання торцю  $\varnothing 117$  та розточка отвора  $\varnothing 117$ . Даний верстат задовольняє цим вимогам, оскільки згідно джерела [5] 460 мм є найбільшим діаметром оброблюваної деталі на верстаті моделі 1М63Б. Даний верстат може забезпечувати довжину обробки не менше 1415 мм, тобто і ця умова теж виконується бо довжина оброблюваного отвору є 114 мм.

Державка різця на верстаті з перетином буде 32x20 мм. Розміри габаритів верстата, мм: довжина – 3565 мм, ширина – 1795 мм, висота – 1483 мм. Потужність електродвигуна – не більше 18,5 кВт. Маса верстата – 3825 кг.

У зазначеного верстата є також наступні параметри: внутрішній конус по 8 М ГОСТ12591-88, 75 мм - діаметр отвора шпинделя.

Частоти шпинделя обертання, що допустимі: 12,6 - 1655 об / хв. Значення поздовжніх подач на верстаті: 1 – ряд – 0,07 ... 1,1 мм / об., 2 – ряд – 0,085 ... 1,6 мм / об.; величина поперечної подачі: 1 – ряд – 0,026 ... 0,37 мм / об., 2 – ряд – 0,035... 0,517 мм / об.; для салазок: 1 – ряд – 0,019 ... 0,38 мм / об., 2 – ряд – 0,028...0,435 мм / об.

Отвір в пінолі верстата має конус Морзе №5.

Точнісні вимоги, що забезпечуються верстатом, відзначимо наступні: сталість в поперечному перетині діаметрів зразків – 12 мкм, будь-яких перетинах – 33 мкм; відхилення площинності від торцевої поверхні зразків - 23 мкм.

#### 6.4 Обґрунтування та вибір верстатних пристроїв, металорізальних та вимірювальних інструментів

Операція 095 (фрезерна): використовують магнітний стіл П9-268 як верстатний пристрій, що включається від пульту верстата або за циклом роботи. Стіл дозволяє встановлюватися 6 плунжерів одночасно для обробки, величина діаметру стола 1100 мм. Для захисту від можливого відриву плунжера в процесі

										Лист
										35
Изм.	Лист	№ докум.	Подпись	Дата						







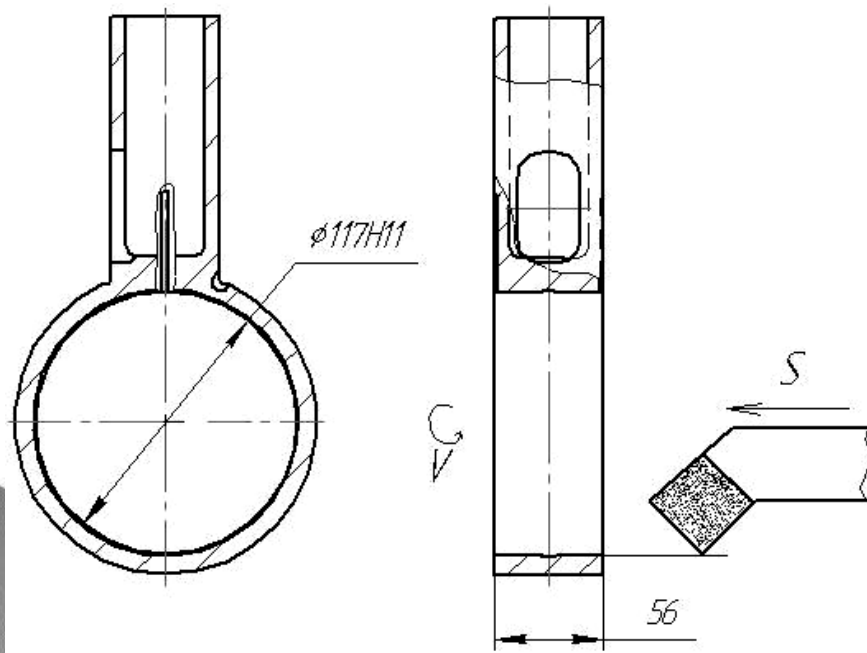


Рисунок 6.6 – Ескіз для операції 020 токарної-гвинторізної

**Сумський державний університет**

**Кафедра технології машинобудування, верстатів та інструментів**

2 ряд - 0,087 ... 1,6 мм/об;

1 ряд - 0,05 ... 1,3 мм/об;

$\eta = 0,85$  - К.К.Д. верстату;

Потужність на верстаті електродвигуна – 18,5 кВт.

Призначимо глибину різання:

припуски на бік дорівнюють: 
$$\Delta = \frac{|D - d|}{2} = \frac{117 - 110}{2} = 3,5 \text{ (мм)}.$$

Призначаємо  $\Delta = 3,50$  мм виходячи з наявних вимог до деталі ( $R_a 12,5$  і IT 11);

Встановлюємо геометричні параметри вибраного різця.

Токарний розточний різець по ГОСТ 18883-75 згідно [5], як ми визначили, оснащено пластинами з твердого сплаву марки ВК8 з кутом у плані  $\varphi = 60^\circ$  та  $\varphi_1 = 32^\circ$ , радіусами при вершині  $R = 1,2$  мм. Також його оснащено ріжучою пластиною 2 типу по ГОСТ 2208-85. Позначення різця – 2143-0063. Задній кут  $\alpha$

Изм.	Лист	№ докум.	Подпись	Дата











Визначаємо відповідно до [13, с. 51] швидкість різання. Для цього скористуємося формулою швидкості різання:

$$V_T = \frac{C_v}{t^{x_v} T^m S^y} \text{ (м/хвил)} \quad (6.8)$$

де  $m$ ,  $y_v$ ,  $x_v$ ,  $C_v$ , - це постійні показники та коефіцієнти що, залежать від інструментального матеріалу,

$$V = V_{T1} \cdot K_{\left(\frac{B}{D}\right)} \cdot K_{T_{v1}} \cdot K_{HRCe} \cdot K_{\left(\frac{B_0}{D}\right)} \text{ (м/хв.)} \quad (6.9)$$

Відповідно до [13, с.16] поправочний коефіцієнт при обробці сірого чавуну НВ 156 на швидкість різання:  $K_{HRCv} = 1,1$ .

Відповідно до 15 [13, с. 27] поправочний коефіцієнт на швидкість різання визначаємо поправковий коефіцієнт в залежності від періоду стійкості інструменту: маємо  $K_{T_v} = 1,4$  для  $T = 242$  хв. при обробці сірого чавуну. Поправковий коефіцієнт для ширини фрезерування і діаметра фрези на швидкість різання відповідно до 15 [13, с. 29] маємо: для обробки чавуну з

шириною фрезерування 215 мм та діаметром фрези 315 мм маємо  $K_{\left(\frac{B}{D}\right)} = 1,05$ .

Відповідно до [13, с. 28] знаходимо поправковий коефіцієнт швидкості різання для відносних зміщень торцевої фрези і заготовки: оскільки маємо

симетричне фрезерування, то  $K_{\left(\frac{B_0}{D}\right)} = 1,2$ .

Відповідно до [13, с. 51] з обробкою сірих чавунів НВ 157 фрезами із композита 01 знайдемо наступні величини коефіцієнтів:

$$m = 1,13; C_v = 203 \cdot 10^3; x_v = 0,13; y_v = 0,39.$$

Швидкість тоді різання  $V_T$  дорівнюватиме значенню

$$V_0 = \frac{207 \cdot 10^3}{240^{1,12} \cdot 0,2^{0,16} \cdot 0,1^{0,37}} = 1263 \text{ (м/хвил.)}$$

Знайдемо розрахункові величини швидкостей різання:

$$V = 1263 \cdot 1,10 \cdot 1,32 \cdot 1,04 \cdot 1,2 = 1865 \text{ (м/ хв)}$$

Розрахунков частота обертів фрези торцевої:

										Лист
										44
Изм.	Лист	№ докум.	Подпись	Дата						



## 6.6 Технічні нормування операцій

Нормування технологічної операції 020.

Розточуємо при обробці плунжера отвір напрохід з 110 мм до 117 мм; торцуємо поверхню з 117 мм до 147 мм.

Основний час згідно [11] для переходів розточування напрохід при обробці плунжера маємо розрахункові формули:

$$L = l_1 + l_2 + l_3, \quad (6.12)$$

де а  $L$  – довжина хода різця,  $l_1$  і  $l_2$  – це величина врізання та величина перебегу інструменту.

Значення врізання з глибиною різання до 3 мм та  $\phi = 50^\circ$ ,  $l_1 = 7$  мм;

$l_2 = 4$  мм - перебег.

Тоді  $L = 53 + 7 + 4 = 64$  (мм).

Згідно [6, с.512] маємо основний час:

$$T_o = \frac{L}{n \cdot S_o} \cdot i = \frac{65}{220 \cdot 0.35} \cdot 2 = 1.68 \text{ (хв.)}$$

для переходу – торцювання 117 / 47 (мм), причому

$i = 1$  – кількість проходів при обробці плунжера.

$\varnothing 117$  мм – менший діаметр для розточування,

де  $\varnothing 147$  мм – більший діаметр розточування,

$l_1 = 5$  мм;  $l_2 = 4$  мм – врізання та перебіг інструмента,

$$\text{Тоді } T_o = \frac{74}{220 \cdot 0.35} \cdot 1 = 0,96 \text{, (хв.)}$$

Згідно [6] допоміжний час при обробці плунжера, який ми визначимо:

$$T_{\text{вс}} = T_{\text{з.ол.}} + T_{\text{у.с.л}} + T_{\text{ун.л}} + T_{\text{вимл}} \quad (6.13)$$

$T_{\text{з.ол.}}$  – час відкріплення плунжерів,

									Лист
									46
Изм.	Лист	№ докум.	Подпись	Дата					



- це начення часу штучного часу.

Час перерв на особисті потреби з відпочинком:

$$T_{i\partial.} = \frac{4}{100} \cdot (\dot{\partial}_i + \dot{\partial}_a) = \frac{4}{100} \cdot 6,09 = 0,24 \text{ (хв.)}$$

Знаходимо час при обробці плунжера обслуговування робочих місць

$$T_{i\dot{a}.} = \frac{2,5}{100} \cdot (\dot{\partial}_i + \dot{\partial}_a) = \frac{2,5}{100} (2,6 + 1,44 + 2,05) = 0,15 \text{ (хв.)}$$

З урахуванням  $n = 234$  шт деталей в партії знайдемо штучно-калькуляційний час та підготовчо-заклучний час  $T_{підг.-закл.1} = 9,00$  хв:

$$T_{\phi \partial.-\epsilon.} = \frac{9}{234} + 4,33 + 0,11 + 0,17 = 4,65 \text{ (хв.)}$$

Приймаємо  $T_{штучн-кальк1} = 4,7$  хвилин згідно [11].

Нормування технологічної операції 095

Фрезеруємо торці деталі в розмір  $50,3$ ; потім ми переустановлюємо і обробляємо деталь в розмір  $50 \begin{matrix} +0,025 \\ -0,050 \end{matrix}$  мм.

Норму штучно-калькуляційного часу при обробці плунжера знайдемо по [11]:

$$T_{шт-кальк2} = T_{шт2} + \frac{T_{п-закл2}}{m} \quad (6.16)$$

$$T_{шт2} = T_{o2} + T_{обсл2} + T_{допом2} + T_{відпоч2} \quad (6.17)$$

Визначимо величину основного часу при обробці плунжера:

$$T_{o2} = \frac{l_{роб.ходу2}}{S_{хв.2}}, \quad (6.18)$$

де  $S_{хв.2}$  – величина при обробці плунжера хвилиної подачі у мм / хв.

$l_{роб.ходу2}$  – робочий ход у міліметрах.

Знаходимо розрахункові значення хвилиних подач:

$$S_{хв.1} = n \cdot S_z \cdot z = 1650 \cdot 0,12 \cdot 46 = 7365 \text{ (мм/хв.)}$$









## 7 ПРОЕКТУВАННЯ ВЕРСТАТНОГО ПРИСТРОЮ

### 7.1 Обґрунтування вибору систем пристроїв

Проектуємо верстатний спеціальний пристрій для токарної операції обробки деталі «Плунжер 352.23.01.04». В базовому тех. процесі обробка здійснювалася на токарно-гвинторізному універсальному обладнанні.

Згідно із завданням на проектування приймаємо систему пристроїв – НСП (нерозбірних спеціальних пристроїв). Використання такого верстатного пристрою допоможе скоротити час на установку, закріплення і базування заготовки, що значно скоротить допоміжний час, та буде зменшено як результат собівартість обробки.

### 7.2 Визначення якісних й кількісних результатів виконання заданої операції

Точність розмірів оброблюваних поверхонь.  
Сумський державний університет  
Кафедра технології машинобудування,  
верстатів та інструментів

На цій операції повинен формуватися один з діаметральних розмірів  $\varnothing 117$ , який обробляється з точністю IT11:

$$T_{\varnothing 117} = 225 \text{ мкм по ГОСТ 25348-85.}$$

Точність форми оброблюваних поверхонь.

Допуск форми поверхні циліндричної  $\varnothing 117H11$  характеризується відхиленням від циліндричності і круглості, нормується по ГОСТ 24643-85. Відповідно до нього допуск циліндричності і круглості з рівнем відносної геометричної точності А приймається по 10 ступені точності й становить 62 мкм.

Точність розташування поверхонь оброблюваних поверхонь.

По рівню А та 10 ступені точності допуск радіального биття становить 160 мкм. По рівню А та 10 ступені точності допуск перпендикулярності отвору відносно торця деталі становить значення 62 мкм.

Шорсткість оброблюваних поверхонь.

										Лист
										52
Изм.	Лист	№ докум.	Подпись	Дата						













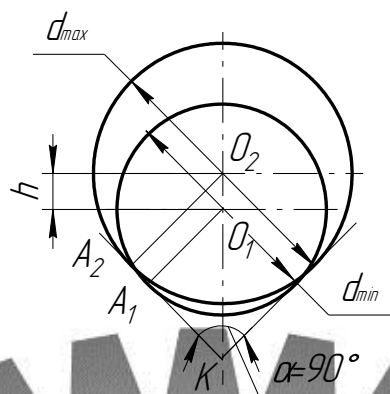


Рисунок 7.3 – Схема установлення заготовки плунжера

$$\varepsilon_{\delta_{b2}} = KO_2 - KO_1 = O_2A_2 / \sin(\alpha/2) - O_1A_1 / \sin(\alpha/2) = \frac{d_{\max 1}}{2 \sin(\alpha/2)} - \frac{d_{\min 2}}{2 \sin(\alpha/2)}$$

$$= \frac{Td}{2} \cdot \frac{1}{\sin(\alpha/2)} \text{ (мм)}$$

Сумський державний університет  
Кафедра технології машинобудування,  
верстатів та інструментів

За другим варіантом поверхні базування мають достатню робочу площу, вони надають можливість зручного та простого закріплення деталі. Опорні точки плунжера розташовані відносно близько до поверхні обробки, чим вони забезпечують надійність закріплення. Поверхні базування за першим варіантом мають набагато меншу площину, тому закріплення плунжера при цьому не так зручно. Точки опори вилучені від оброблюваної поверхні плунжера та розташовані занадто близько друг до друга. Це є істотним недоліком, тому що плунжер не може бути при цьому закріпленим жорстко і надійно.

$$\varepsilon_{\delta_{b2}} = \frac{4}{2} \cdot \frac{1}{\sin(90/2)} = 2,85 \text{ мм}$$

$$\varepsilon_{\delta_{b1}} = 6 \text{ мм} > \varepsilon_{\delta_{b2}} = 2,85 \text{ мм}$$

Прийmemo 2-й варіант схеми базування.

Изм.	Лист	№ докум.	Подпись	Дата



скорочення довжини силових потоків в заготовці, бо місце дії зрівноважувальних сил розташовано близько до місця виникнення сил збурюючих.

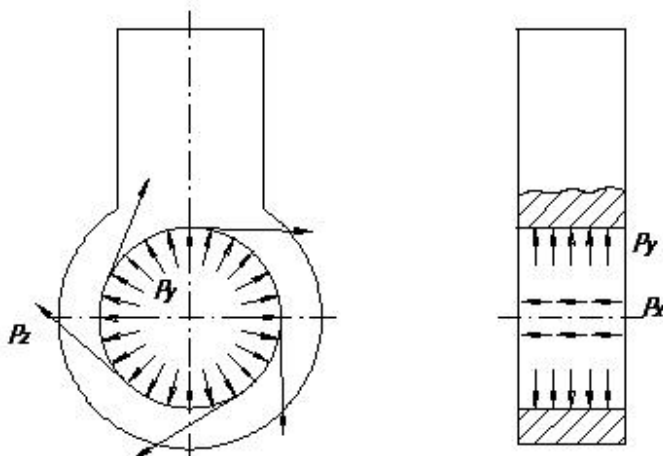


Рисунок 7.5 – Структура полів сил збурюючих

Особливі вимоги до структурної однородності полів силових не виникають завдяки значній твердості плунжера, що гасить ці напруги, не викликаючи її деформації.

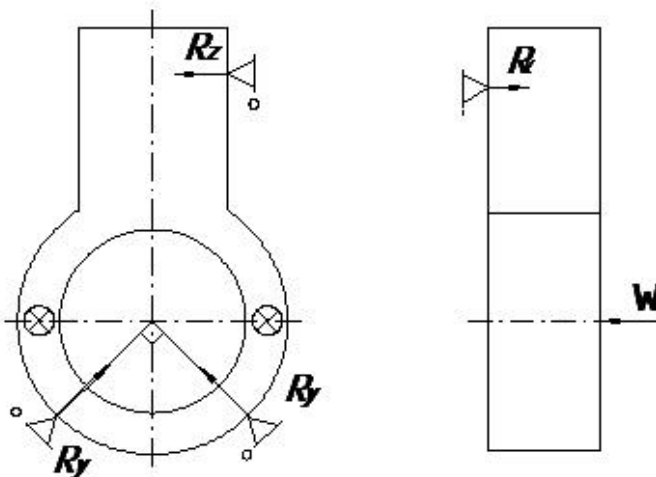


Рисунок 7.6 – Структура полів сил зрівноважувальних

Впливом неоднорідності шорсткості технологічних баз можна зневажати, крім того з механізованим пневмоприводом гарантується сталість сил

										Лист
										60
Изм.	Лист	№ докум.	Подпись	Дата						







